



## تهیه نانوکاتالیست Cr/MCM-41 به روش آب گرمایی یک مرحله‌ای و بررسی فعالیت کاتالیستی آن در هیدروژن گیری از اتان به اتیلن در حضور کربن دی‌اکسید

المیرا اصغری<sup>۱</sup>، محمد حقیقی<sup>۲\*</sup> و فرهاد رحمانی<sup>۳</sup>

۱- کارشناس ارشد مهندسی شیمی، مرکز تحقیقات راکتور و کاتالیست، دانشگاه صنعتی سهند، شهر جدید سهند، تبریز، ایران

۲- دانشیار مهندسی شیمی، مرکز تحقیقات راکتور و کاتالیست، دانشگاه صنعتی سهند، شهر جدید سهند، تبریز، ایران

۳- دانشجوی دکترا مهندسی شیمی، مرکز تحقیقات راکتور و کاتالیست، دانشگاه صنعتی سهند، شهر جدید سهند، تبریز، ایران

دریافت: دی ۱۳۹۴، بازنگری نخست: اسفند ۱۳۹۴، بازنگری دوم: اردیبهشت ۱۳۹۵، پذیرش: خرداد ۱۳۹۵

**چکیده:** در این مقاله تأثیر روش هیدروترمال یک مرحله‌ای در سنتز نانوکاتالیست Cr(8%)/MCM-41 به منظور استفاده در فرایند هیدروژن گیری اکسایشی تبدیل اتان به اتیلن در حضور کربن دی‌اکسید مطالعه و نتیجه‌های به دست آمده با روش سنتز تلقیح مقایسه شد. برای بررسی ویژگی‌های فیزیکی-شیمیایی نانوکاتالیست‌ها، از روش‌های FESEM، FT-IR، XRD، BET، EDX و XRD استفاده شد. الگوهای XRD تشکیل فازهای بلوری MCM-41 و  $\text{Cr}_2\text{O}_3$  را ایجاد کرد. بررسی تصویرهای FESEM ذرات یکنواخت و کوچک در مقیاس نانومتری و توزیع اندازه‌ی ذرات باریکی را بر روی سطح کاتالیست‌ها نشان داد. نتیجه‌های به دست آمده از تجزیه EDX نشان داد در اثر به کارگیری روش آب گرمایی مستقیم، فاز فعال کروم به طور یکنواخت روی سطح کاتالیست پخته شده است. بر اساس نتیجه‌های به دست آمده روش آب گرمایی یک مرحله‌ای باعث سنتز کاتالیستی با اندازه‌ی ذرات کوچک‌تر و یکنواخت‌تر در راستای بهبود ویژگی جذب و پخش شوندگی بیشتر نسبت به نمونه‌ی به دست آمده از روش تلقیح شد. همچنین نانوکاتالیست‌ها در فشار اتمسفری و گستره دمایی ۵۵۰ تا ۷۰۰°C با ترکیب خوراک ۱۰٪ اتان، ۵۰٪ کربن دی‌اکسید و ۴۰٪ نیتروژن در یک سامانه آزمایشگاهی مورد ارزیابی قرار گرفتند. نانوکاتالیست‌های سنتز شده به روش آب گرمایی یک مرحله‌ای فعالیت کاتالیستی معقول و پایداری را حتی پس از گذشت ده ساعت با بازده و انتخاب‌پذیری نسبت به اتیلن به ترتیب برابر با ۴۲٪ و ۹۷٪ در دمای ۷۰۰°C از خود نشان داد. این نمونه انتخاب‌پذیری بهتر و بازده قابل رقابتی با نمونه‌ی سنتز شده به روش تلقیح از خود نشان داد.

**واژه‌های کلیدی:** نانوکاتالیست Cr/MCM-41، هیدروژن گیری، اتان، اتیلن، کربن دی‌اکسید

### خام باعث ایجاد انگیزه‌ای برای تولید اتیلن و پروپیلن از روش‌های

### مقدمه

اتیلن از جمله خوارک‌های پایه در صنایع پتروشیمی است که مناسب و با بازدهی بالا شده است. از این‌رو، روش هیدروژن گیری اکسایشی که در واقع هیدروژن گیری از آلکان‌ها در حضور اکسیژن به طور گسترده برای تولید مواد شیمیایی متفاوت مانند پلی‌اتیلن، اتیلن اکسید، اتیلن دی‌کلرید کاربرد دارد. تقاضای جهانی انرژی، افزایش تقاضا برای پلاستیک و نوسان در قیمت و عرضه‌ی نفت ترمودینامیکی و نیز حذف کک تشکیل یافته با عامل اکسنده

دی اکسید به کار گرفته شده‌اند. همچنین، تأثیر دما روی عملکرد آن‌ها بررسی شده و آزمون پایداری به مدت ۱۰ ساعت انجام گرفته است.

### بخش تجربی

#### روش سنتز نانوکاتالیست‌ها

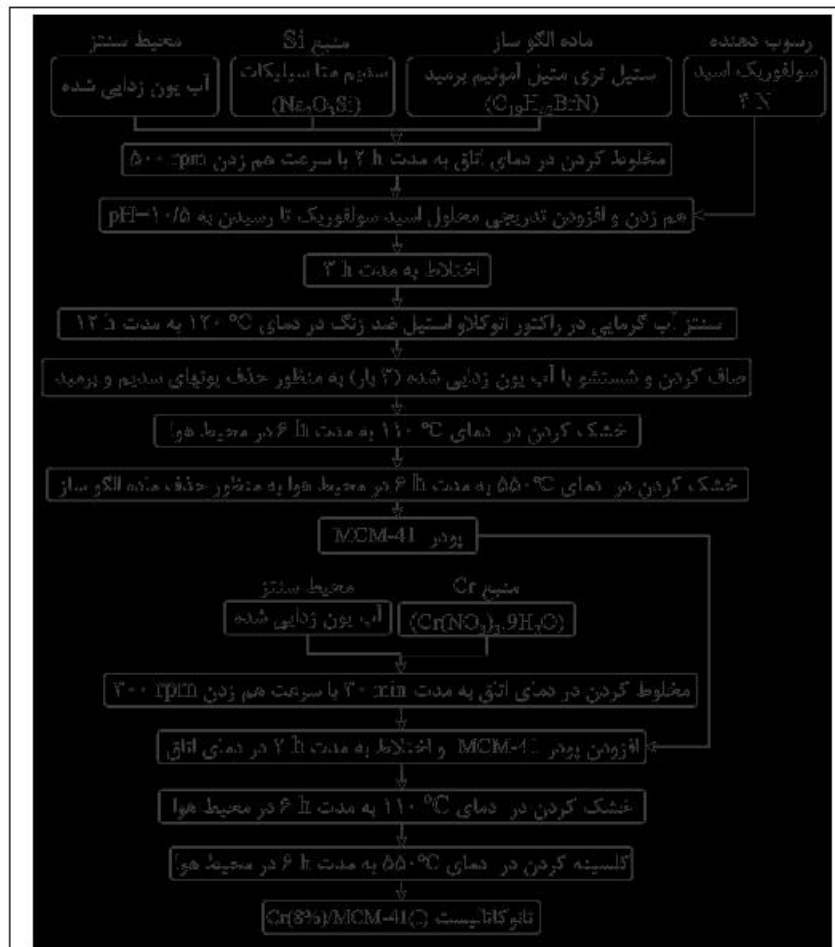
##### سنتز دو مرحله‌ای نانوکاتالیست Cr/MCM-41

نمودار جریان مراحل سنتز نانوکاتالیست Cr/MCM-41 به روش MCM-41 تلقیح در شکل ۱ نشان داده شده است. برای سنتز پایه‌ی MCM-41 از روش آب گرمایی استفاده شد. به این ترتیب که مقادیر موردنیاز از سدیم متاسیلیکات و ماده‌ی الگوساز در آب مقتصر حل و همزدۀ pH ۷ باشد. مخلوط به دست آمده با استفاده از محلول سولفوریک اسید ۴ برابر با ۱۰,۵٪ تخلیم شد. مخلوط به دست آمده در درون واکنشگاه آب گرمایی به مدت ۱۲ ساعت در دمای ۱۴۰°C داده شد. پس از آن، فراورده‌های جامد با قیف بوختر صاف و شسته شد، نمونه‌ی به دست آمده به مدت ۸ ساعت در دمای ۸۰°C خشک و برای حذف ماده‌ی الگوساز به مدت ۶ ساعت در داخل کوره با دمای ۵۵۰°C قرار داده شد. برای افزودن فاز فعال کروم به روش تلقیح، مقدار موردنیاز از نیکل نیترات در آب مقتصر حل شد، سپس پودر پایه‌ی MCM-41 به محلول افزوده شد و به مدت ۲ ساعت هم زده شد. مخلوط به دست آمده به مدت ۶ ساعت در دمای ۱۱۰°C خشک و در مرحله‌ی آخر، پودر کاتالیست به دست آمده به مدت ۶ ساعت در دمای ۵۵۰°C کلینین شد (شکل ۱).

##### سنتز یک مرحله‌ای نانوکاتالیست Cr/MCM-41

برای سنتز کاتالیست Cr/MCM-41 به روش آب گرمایی یک مرحله‌ای مشابه روش سنتز پایه‌ی MCM-41 عمل شد، با این تفاوت که مقدار موردنظر از ماده‌ی کروم نیترات همراه با واکنشگر پایه داخل ژل اولیه افزوده شد. نمودار جریان مراحل سنتز نانوکاتالیست Cr/MCM-41 به روش آب گرمایی یک مرحله‌ای در شکل ۲ نشان داده شده است.

توجه پژوهشگران را به خود جلب کرده است [۱ تا ۵]. با این حال چالش‌هایی مانند انتخاب پذیری مناسب مانع از صنعتی شدن این فرایند شده است که با استفاده از اکسنده‌ی ملايمتر مانند  $\text{CO}_2$  و نيز دستيابي به کاتالیست‌های با عملکرد بالا قابل دستيابي است [۶ و ۷]. از مزيت‌های استفاده از اکسنده‌ی  $\text{CO}_2$  در فرایند می‌توان به افزایش انتخاب‌پذيری فرایند، امكان تبديل گاز طبیعی به فراورده‌های با ارزش بدون نياز به حذف  $\text{CO}_2$  موجود در آن و تبديل گاز گلخانه‌ای  $\text{CO}_2$  به گاز با ارزش تر  $\text{CO}$  اشاره کرد [۸ و ۹]. از عوامل مهم کاتالیستي، اجزاي کاتالیست و روش سنتز است که می‌تواند تأثير زيادي در ويژگي نهايی کاتالیست داشته باشد [۱۰ تا ۱۲]. در ميان تمام کاتالیست‌های مورداستفاده کاتالیست‌های کروم اکسید بيشترین فعالیت را در اين فرایند از خود نشان داده‌اند [۱۳ تا ۱۵]. پايه‌ی کاتالیست MCM-41 به دليل سطح ويژه‌ی بسيار بالا و در نتيجه افزایش پخش‌شوندگی فاز فعال کروم بر روی پایه و نيز اندازه‌ی خفرهای يكتواخت و پایداری حرارتی بالای آن از پايه‌های بسيار مؤثر است که در سال‌های اخير توجه پژوهشگران را به خود جلب کرده است [۱۶ و ۱۷]. از طرف ديگر، روش سنتز با تأثير بر ساختار کاتالیست و نحوه‌ی قرار گرفتن فاز فعال تأثير به سزايد در ويژگي و عملکرد کاتالیست دارد. روش آب گرمایي يك مرحله‌ای از روش‌های نوين موردنوجه است که با واردکردن فاز فعال در داخل ساختار پايه افزون بر سهولت روش سنتز و صرفه‌جوبي در زمان و هزينه باعث تأثير بر ويژگي کاتالیست و در نتيجه فعالیت کاتالیستي آن می‌شود [۱۸ تا ۲۱]. از اين‌رو، در اين مقاله عملکرد نانوکاتالیست Cr/MCM-41 به روش آب گرمایي يك مرحله‌ای در فرایند هيدروژن‌گيري اتان به اتيلن در حضور عامل اکسنده‌ی  $\text{CO}_2$  مورد بررسی قرار گرفته و برای بررسی بيشتر اثر آب گرمایي يك مرحله‌ای، نتيجه‌های به دست آمده با روش تلقیح نيز مقایسه شده است. برای شناسایي نمونه‌ها از روش‌های XRD، FESEM، FT-IR و EDX استفاده برای اندازه‌گيری مساحت سطح نمونه‌ها از روش BET استفاده شده است. برای تعیین عملکرد کاتالیستي، در مرحله بعد اين نانوکاتالیست‌ها در هيدروژن‌گيري اکسایشني اتان در حضور کربن



شکل ۱ نمودار جریان مرحله‌های نانوکاتالیست (I)

نمونه‌های سنتز شده با روش FT-IR و با استفاده از طیف‌سنج Unicam 4600 انجام شد.

روش ارزیابی عملکرد نانوکاتالیست‌ها پس از شناسایی کاتالیست‌های سنتز شده و بررسی ویژگی‌ها، اثای اینلیز XRD استفاده شد. برای این کار از دستگاه D-5000Siemens Diffractometer استفاده شد. ریخت‌شناصی و اندازه‌ذرات با میکروسکوپ الکترونی روبشی میدانی FESEM و به کمک دستگاه HITACHI S-4160 استفاده شد. مساحت سطح ویژه کاتالیست با استفاده از روش BET و به وسیله دستگاه CHEMBET-300 تعیین شد. تجزیه EDX و روش dot mapping نیز با استفاده از دستگاه VEGAII TESCAN انجام گرفت. برای تعیین گروه‌های عاملی

روش‌های شناسایی نانوکاتالیست‌ها برای بررسی ویژگی‌های بلوری و شناسایی فازهای تشکیل شده از آنالیز XRD استفاده شد. برای این کار از دستگاه D-5000Siemens Diffractometer استفاده شد. ریخت‌شناصی و اندازه‌ذرات با میکروسکوپ الکترونی روبشی میدانی FESEM و به کمک دستگاه HITACHI S-4160 استفاده شد. مساحت سطح ویژه کاتالیست با استفاده از روش BET و به وسیله دستگاه CHEMBET-300 تعیین شد. تجزیه EDX و روش dot mapping نیز با استفاده از دستگاه VEGAII TESCAN انجام گرفت. برای تعیین گروه‌های عاملی

تهیه نانوکاتالیست Cr/MCM-41 به روش آب گرمایی ...



شکل ۲ نمودار جریان مراحل سنتز نانوکاتالیست Cr(8%)/MCM-41(DH) به روش هیدروترمال یک مرحله‌ای

$$X_{\text{C}_2\text{H}_6} \% = 100 \times \frac{\left(F_{\text{C}_2\text{H}_6}\right)_{\text{in}} - \left(F_{\text{C}_2\text{H}_6}\right)_{\text{out}}}{\left(F_{\text{C}_2\text{H}_6}\right)_{\text{in}}} \quad (1)$$

$$S_{\text{C}_2\text{H}_4} \% = 100 \times \frac{F_{\text{C}_2\text{H}_4}}{F_{\text{C}_2\text{H}_6} + F_{\text{C}_2\text{H}_4} + F_{\text{CO}}} \quad (2)$$

$$Y_{\text{C}_2\text{H}_4} \% = 100 \times \frac{F_{\text{C}_2\text{H}_4}}{\left(F_{\text{C}_2\text{H}_6}\right)_{\text{in}}} \quad (3)$$

که در این روابط  $F_{\text{in}}$  و  $F_{\text{out}}$  به ترتیب دبی مولی ترکیب مورد نظر در جریان ورودی و خروجی است.

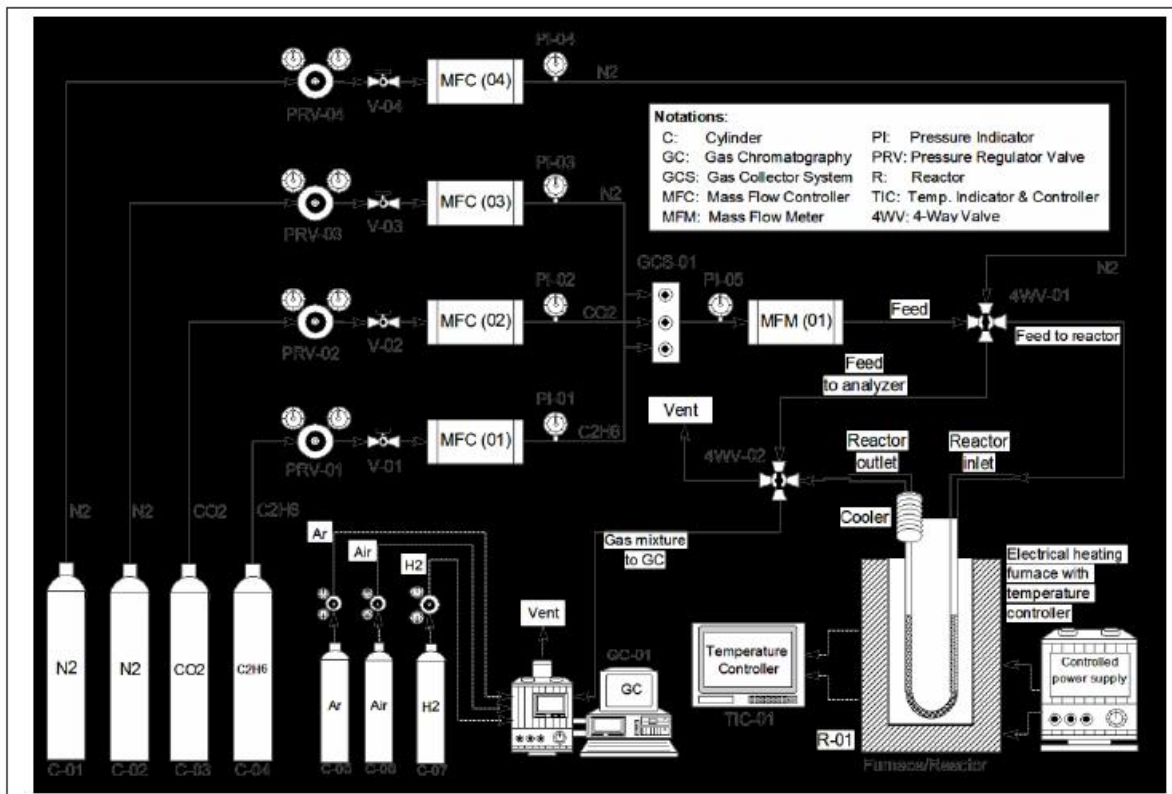
#### نتیجه‌ها و بحث

تعیین ویژگی‌های نانوکاتالیست‌های سنتزی بررسی الگوهای XRD

شکل ۴ الگوی پراش پرتو ایکس پایه‌ی MCM-41 را در گستره زاویه پرتودهی  $2\theta$  بین  $1,5$  تا  $20$  درجه را نشان می‌دهد. با توجه به انطباق الگوی مشاهده شده با الگوی مرجع و مشاهده‌ی پیک‌های شاخص MCM-41 در زاویه‌های  $2,1$ ،

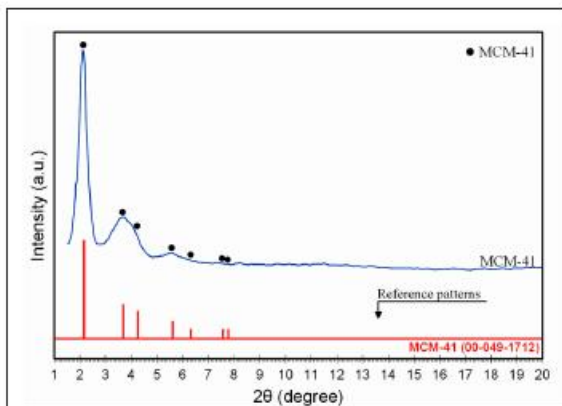
(RCRC) طراحی و ساخته شده است. طرح واره کلی این سامانه در شکل ۳ نمایش داده شده است. سامانه دارای چندین بخش شامل کپسول گاز خوراک، دستگاه اندازه‌گیری جریان گاز، واکنشگاه میکروبی U شکل، کوره‌ی الکتریکی برای تأمین گرمای واکنش و دستگاه کروماتوگرافی گازی (GC Chrom)، شرکت طیف گستر ایران) است. آزمون کاتالیستی در واکنشگاه U شکل از جنس کوارتز با قطر داخلی  $6\text{ mm}$  حاوی  $500\text{ mg}$  از نانوکاتالیست سنتز شده تحت شرایط فشار اتمسفری و در گستره‌ی دمایی  $550$  تا  $700^\circ\text{C}$  انجام گرفت. جریان خوراک حاوی  $10\%$  اتان،  $5\%$  کربن دی‌اکسید و  $40\%$  نیتروژن با دبی  $75\text{ ml/min}$  GHSV برابر با  $9000$  به داخل واکنشگاه تزریق شد. آزمون Blank در شرایط مشابه با جایگزینی کاتالیست با خردکهای کوارتز هماندازه با دانه‌های کاتالیست انجام گرفت. فراورده‌ها و واکنشگرهای واکنش نداده با دستگاه کروماتوگرافی گازی متصل به آشکارساز FID و TCD تجزیه شد.

به منظور محاسبه مقدار تبدیل اتان ( $X_{\text{C}_2\text{H}_6}$ )، انتخاب پذیری اتیلن ( $S_{\text{C}_2\text{H}_4}$ ) و پازده تولید اتیلن ( $Y_{\text{C}_2\text{H}_4}$ ) از روابط زیر استفاده



شکل ۳ سامانه آزمایشگاهی ارزیابی عملکرد نانوکاتالیست Cr/MCM-41 برای استفاده در تبدیل اتان به اتیلن در حضور کربن دی اکسید.

مساوی فاز فعال استفاده شده در هر دو روش سنتز می‌تواند ناشی از تشکیل فاز آمورف و یا پخشن‌شوندگی بیشتر کروم اکسید باشد.

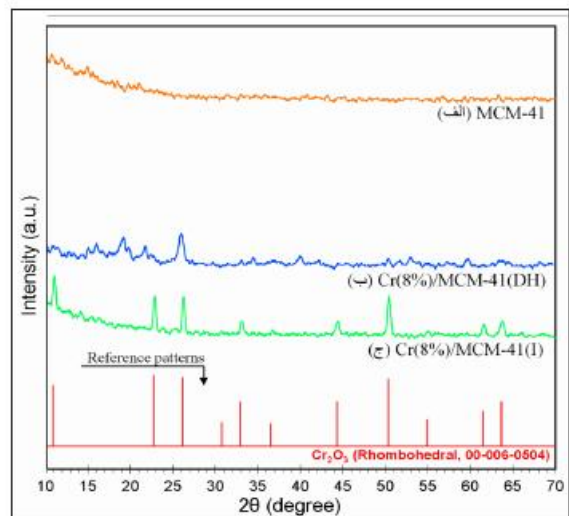


شکل ۴ الگوی XRD پایه MCM-41

۴,۲ و ۵,۶° تشكيل MCM-41 تأييد شد. پيك‌های مشاهده شده مطابق با الگوی استاندارد XRD فاز ۱ MCM-41 با کد مرجع (00-049-1712JCPDS) است. نتیجه‌های الگوی XRD نانوکاتالیست‌های سنتزی (Cr(8%)/MCM-41(DH) و Cr(8%)/MCM-41(I) در گستره زاویه پرتوگرافی ۲θ بین ۱۰ تا ۷۰ درجه در شکل ۵ نشان داده شده است. پيك‌های شاخص فاز بلوری  $\text{Cr}_2\text{O}_3$  با توجه به الگوی استاندارد مربوطه با کد مرجع ۰۰-006-0504JCPDS در زاویه‌های ۲۴,۵, ۳۳,۶, ۳۶,۲ درجه تشکيل می‌شود. با توجه به الگوهای به دست آمد، شدت پيك‌های فاز  $\text{Cr}_2\text{O}_3$  در الگوی Cr(8%)/MCM-41(DH) به الگوهای به دست آمد، شدت پيك‌های فاز  $\text{Cr}_2\text{O}_3$  در الگوی Cr(8%)/MCM-41(I) یک مرحله‌ای نسبت به الگوی Cr(8%)/MCM-41(DH) مربوط به روش سنتز آب گرمایی به روش تلقیح ضعیفتر و پهن‌تر است که با توجه به مقادیر

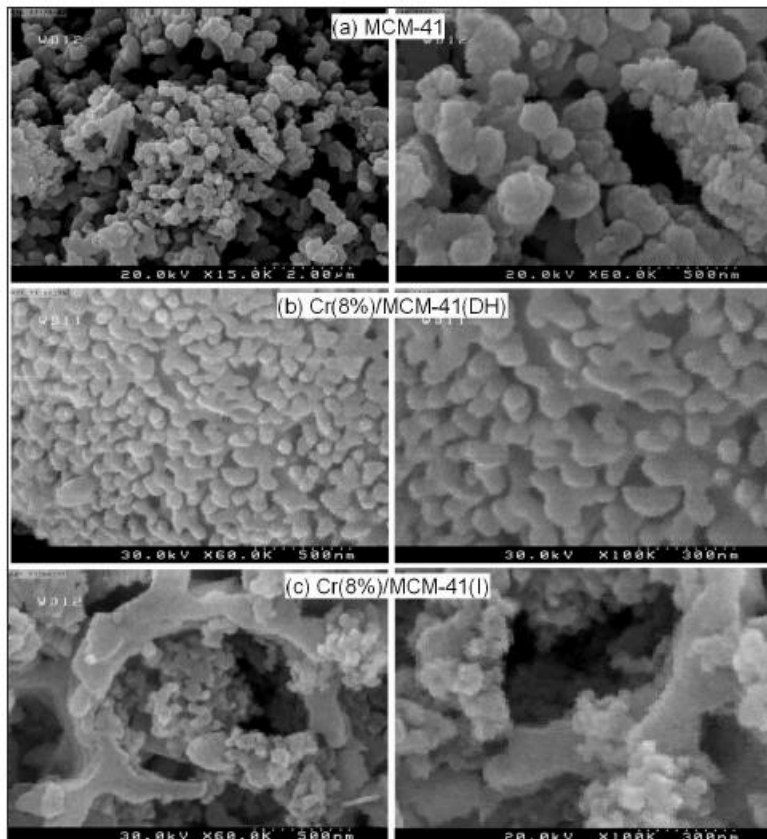
تهیه نانوکاتالیست  $Cr/MCM-41$  به روش آب گرمایی ...**الگوهای FESEM**

تصویرهای FESEM مربوط به نانوکاتالیست سنتز شده به روش آب گرمایی یک مرحله‌ای و روش تلقیح به عنوان نمونه‌ی شاهد در شکل ۶ نمایش داده شده است. شکل (الف) مربوط به پایه‌ی MCM-41 است که دارای ریخت کروی و توزیع اندازه‌ی ذرات یکنواخت است. از مقایسه‌ی دو شکل (ب) و (ج) مشاهده می‌شود که استفاده از سنتز آب گرمایی یک مرحله‌ای باعث ایجاد ذرات کوچک‌تر و ریخت‌شناسی سطح یکنواخت‌تر و بهتر می‌شود. با توجه به اینکه اندازه‌ی ذرات مشاهده شده در مقیاس نانومتری قرار دارند، کاتالیست‌های سنتز شده جزء نانوکاتالیست‌ها هستند.



شکل ۵-الگوهای XRD پایه‌ی MCM-41 و نانوکاتالیست‌های سنتزی  $Cr(8\%)/MCM-41(I)$  و  $Cr(8\%)/MCM-41(DH)$

**تجزیه عنصری به روش EDX**  
روش EDX برای به دست آوردن مقادیر ترکیب درصد



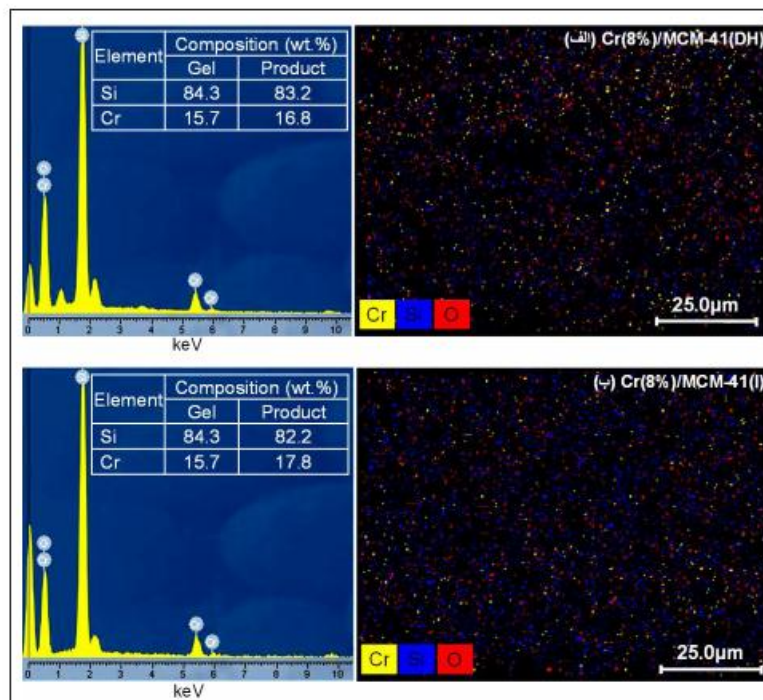
شکل ۶- تصویرهای FESEM پایه‌ی MCM-41 و نانوکاتالیست‌های سنتزی  $Cr(8\%)/MCM-41(I)$  و  $Cr(8\%)/MCM-41(DH)$

این که، توزیع بهتر نشان دهنده برهمنکش قوی‌تر بین فاز فعال و پایه است و با افزایش قدرت برهمنکش، قابلیت کاهش پذیری فاز فعال کاهش می‌یابد، انتظار می‌رود نانوکاتالیست سنتز شده به روش آب گرمایی یک مرحله‌ای قابلیت کاهش پذیری کمتر و در نتیجه، میزان تبدیل کمتری از خود نشان دهد.

مساحت سطح ویژه نمونه‌ها سطح ویژه کاتالیست به دلیل تعیین مقدار دسترسی واکنشگرها به مکان‌های فعال واکنش از ویژگی‌های مهم کاتالیست به شمار می‌رود. نانوکاتالیست Cr(8%)/MCM-41(DH) دارای مساحت سطح  $m^2/g$  ۲۶۲ است که با توجه به پایه MCM-41 مورد استفاده و بررسی تصویرهای FESEM چنین سطحی قابل پیش‌بینی بود.

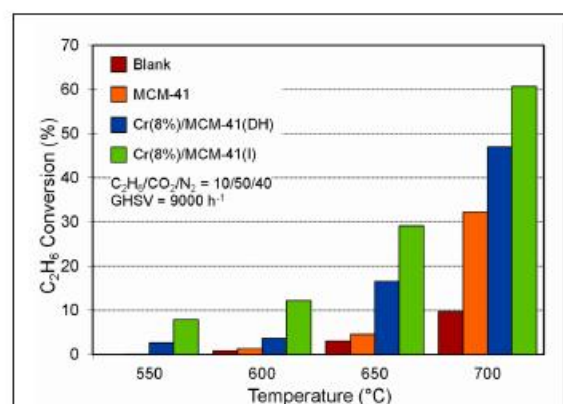
بررسی طیف‌های FT-IR  
طیف‌های FT-IR نمونه برای شناسایی گروه‌های عاملی در

عناصر در نانوکاتالیست‌های سنتزی Cr(8%)/MCM-41(DH) و Cr(8%)/MCM-41(I) و نیز پراکندگی آن‌ها به کار گرفته شد که نتیجه‌های بدست آمده از آن در شکل ۷ نشان داده شده است. نتیجه‌های بدست آمده از روش EDX حضور هر دو فلز Si و Cr را در ساختار نانوکاتالیست‌ها تأیید می‌کند. با توجه به شکل ۷، درصدهای فلزات موجود در نانوکاتالیست‌ها از جمله Si و Cr به درصدهای محاسبه شده در حین سنتز کاتالیست‌ها بسیار نزدیک هستند که نشان دهنده ورود تمامی اجزا با نسبت‌های صحیح به داخل نانوکاتالیست‌ها است. همچنین با توجه به شکل ۷ و نتیجه‌های بدست آمده از تجزیه عنصری می‌توان ادعا کرد استفاده از روش آب گرمایی یک مرحله‌ای باعث پراکندگی بهتر فاز فعال کروم می‌شود. از مقایسه‌ی شکل‌الف و ب مشاهده می‌شود درصد کروم قرار گرفته روی سطح کاتالیست سنتز شده به روش آب گرمایی یک مرحله‌ای کمتر است که می‌تواند ناشی از قرار گرفتن آن در داخل شبکه پایه و توده‌ی کاتالیست و نیز پراکندگی بالای آن بر روی سطح در این روش باشد. با توجه به



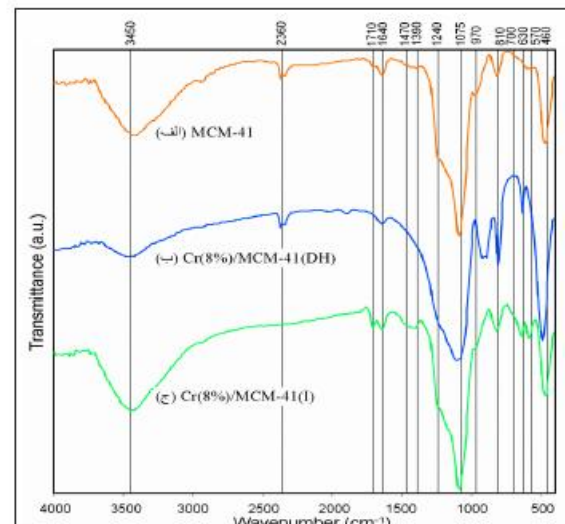
شکل ۷ طیف‌های EDX نانوکاتالیست‌های سنتزی Cr(8%)/MCM-41(I) و Cr(8%)/MCM-41(DH)

آغاز می شود و برای تمامی نمونه ها با افزایش دما، مقدار تبدیل افزایش می یابد که ناشی از تأمین انرژی فعال سازی واکنش و نیز به دلیل گرمایی بودن واکنش هیدروژن گیری اکسایشی اتان در حضور اکسیدهای کربن دی اکسید است. با توجه به شکل ۹، نانوکاتالیست Cr/MCM-41 سنتز شده به روش آب گرمایی یک مرحله ای با تبدیل اتان ۴۷٪ در دمای ۷۰۰ °C عملکرد بسیار خوبی از خود نشان می دهد. از مقایسه نتیجه های بدست آمده با روش سنتز تلقیح مشاهده می کنیم روش آب گرمایی یک مرحله ای تبدیل اتان کمتری را نسبت به روش تلقیح در تمامی داماهای نشان می دهد. با توجه به اینکه، فرایند تبدیل اتان به اتیلن در حضور عامل اکسیده از سازوکار اکسایش - کاهش تبعیت می کند و ویژگی کاهش پذیری ذرات کروم سطحی بیشتر از ذرات کروم الحقیقی است، مقدار تبدیل کمتر مشاهده شده در حضور Cr(8%)/MCM-41 سنتز شده به روش هیدروترمال یک مرحله ای به دلیل ورود فاز فعال به داخل ساختار پایه و کاهش قابلیت کاهش پذیری آن است. همچنین، با توجه به اینکه ذرات کروم برای شرکت در واکنش باید در حالت اکسیدی خود قرار گیرند، امکان دسترسی مکان های فعال به عامل اکسیده و مواد واکنش دهنده به دلیل قرار گرفتن ذرات فعال داخل ساختار پایه در روش آب گرمایی یک مرحله ای، کمتر می شود. کاهش تفاوت مقدار تبدیل دو روش موردنظری با افزایش دما به دلیل افزایش نقش ترمودینامیک و کاهش نقش کاتالیست در فرایند با افزایش دماست.



شکل ۹ مقدار تبدیل اتان به اتیلن در حضور نانوکاتالیست Cr/MCM-41

نمونه های سنتزی در شکل ۸ نمایش داده شده اند. پیک های موجود در ۴۸۰ و ۸۱۰ و ۱۰۷۵  $\text{cm}^{-1}$  مربوط به ارتعاشات کششی متقاضن پیوندهای Si-O-Si بوده که حضور پایه ای کاتالیست MCM-41 را نشان می دهد. پیک های موجود در ۱۶۵۰  $\text{cm}^{-1}$  مربوط به مولکول آب است که به صورت فیزیکی جذب شده است و در داخل حفرات و سطح فعال کاتالیست وجود دارد [۲۴ تا ۲۶]. پیک های موجود در ۲۳۶۰  $\text{cm}^{-1}$  مربوط به جذب  $\text{CO}_2$  محیط بر روی نمونه است [۲۷ تا ۲۸] پیک موجود در ناحیه  $3۴۵۰ \text{ cm}^{-1}$  مربوط به پیوند O-H مولکول آب جذب شده به صورت شیمیایی است [۲۹ و ۳۰].

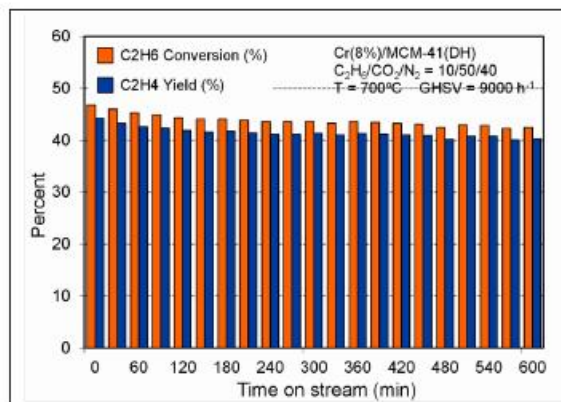


شکل ۸ طیف های FT-IR پایه MCM-41 و نانوکاتالیست های سنتزی Cr(8%)/MCM-41(I) و Cr(8%)/MCM-41(DH)

از ریاضی عملکرد نانوکاتالیست های سنتزی در تبدیل اتان به اتیلن ارزیابی تبدیل اتان به اتیلن برای بررسی عملکرد نانوکاتالیست Cr(8%)/MCM-41 سنتز شده به روش آب گرمایی یک مرحله ای نمودار تبدیل اتان بر روی نانوکاتالیست مربوط و همچنین نانوکاتالیست سنتز شده به روش تلقیح به عنوان شاخص برحسب دما در گستره دمایی ۵۵۰ تا ۷۰۰ °C در شکل ۹ آورده شده است. همان طور که در شکل مشاهده می شود، فعالیت نانوکاتالیست ها به تقریب از دمای ۵۵۰ °C

## حقیقی و همکاران

آمده افت چندانی در عملکرد نانوکاتالیست سنتز شده به روش آب گرمایی یک مرحله‌ای نشان ندادند و بازده نانوکاتالیست در مدت ۶۰۰ min تنها حدود ۹% کاهش یافت که ناشی از کم گرفتگی جزئی سطح کاتالیست است.

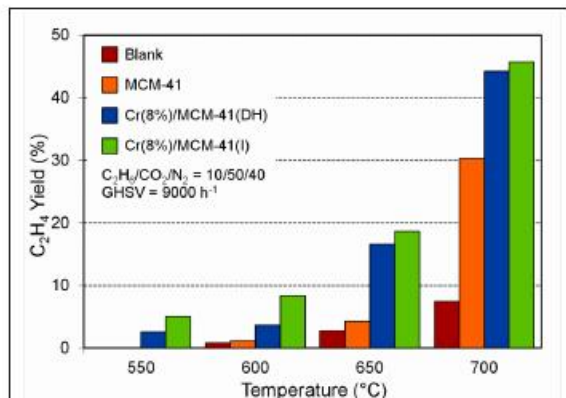


شکل ۱۱ ارزیابی پایداری نانوکاتالیست Cr/MCM-41 در تبدیل اتان به اتیلن

## نتیجه‌گیری

روش سنتز آب گرمایی یک مرحله‌ای به دلیل کاهش مراحل سنتز و صرفه‌جویی در زمان و هزینه برای سنتز نانوکاتالیست Cr(8%)/MCM-41 برای استفاده در فرایند تبدیل اکسایشی اتان به اتیلن در حضور کربن دی‌اکسید انتخاب شد و نشان داد که ماهیت روشن سنتز می‌تواند نقش مؤثری در ساختار و عملکرد نانوکاتالیست داشته باشد. استفاده از روش آب گرمایی یک مرحله‌ای باعث سنتز نانوکاتالیستی با اندازه‌ی ذرات نانومتری، ریخت‌شناسی یکنواخت و مساحت سطح ویژه‌ی بالایی در حدود ۲۶۲ m<sup>2</sup>/g شد. هم‌چنین نتیجه‌های آزمون واکنشگاهی نشان داد استفاده از روش سنتز آب گرمایی یک مرحله‌ای با تبدیل اتان مناسب و انتخاب‌پذیری اتان بسیار بالا در اثر حذف فراورده‌های جانبی نامطلوب، باعث بازده بالا و قابل‌رقابت با روش سنتز تلقیح می‌شود. بنابراین، روش آب گرمایی یک مرحله‌ای به دلیل بازده قابل‌رقابت با روش تلقیح، سهولت در روش سنتز و صرفه‌جویی در زمان و هزینه، کاهش دستگاه‌های جداسازی و افزایش صرفه‌ی اقتصادی فرایند به عنوان روش سنتز مؤثر و کارآمد معرفی می‌شود.

از زیبایی بازده تولید اتیلن در حضور نانوکاتالیست Cr/MCM-41 نمودار بازده نانوکاتالیست‌ها بر حسب دما در گستره‌ی دمایی ۵۵۰ تا ۷۰۰ °C در شکل ۱۰ نمایش داده شده است. با توجه به شکل ۱۰، نانوکاتالیست Cr/MCM-41 سنتز شده به روش آب گرمایی یک مرحله‌ای با بازده اتیلن ۴۵% در دمای ۷۰۰ °C عملکرد موفقیت‌آمیزی در فرایند هیدروژن گیری اکسایشی اتان به اتیلن از خود نشان می‌دهد. با توجه به اینکه، روش سنتز آب گرمایی یک مرحله‌ای تبدیل اتان کمتر ولی انتخاب‌پذیری اتیلن بسیار بالاتری نسبت به روش تلقیح دارد، بازده اتیلن به دست آمده از دو روش بسیار نزدیک به هم است. با این حال، روش آب گرمایی یک مرحله‌ای به دلیل انتخاب‌پذیری بسیار بالای اتیلن، کاهش دستگاه‌های جداسازی موردنیاز و افزایش صرفه‌ی اقتصادی فرایند نسبت به تلقیح مناسب‌تر است.



شکل ۱۰ نمودار بازده تولید اتیلن روی نانوکاتالیست Cr/MCM-41

از زیبایی پایداری نانوکاتالیست Cr/MCM-41 در تبدیل اتان به اتیلن با توجه به نتیجه‌های آزمون‌های دمایی، دمای ۷۰۰ °C به دلیل مقدار تبدیل بالاتر و تشکیل کک بیشتر برای انجام آزمون پایداری انتخاب شد. از نانوکاتالیست سنتز شده به روش آب گرمایی یک مرحله‌ای به مدت ۶۰۰ min در دمای ۶۰۰ °C آزمون پایداری گرفته شد. نتیجه‌های تبدیل و بازده اتان بر حسب زمان در شکل ۱۱ نمایش داده شده است. نتیجه‌های به دست

تکمیلی ستاد فناوری نانو در اجرای پروژه، تشکر و قدردانی  
می‌کنند.

سپاسگزاری  
نویسنده‌گان از حمایت مالی دانشگاه صنعتی سهند و حمایت

## مراجع

- Santander, J., López, E., Diez, A., Dennehy, M., Pedernera, M., Tonetto, G., Chemical Engineering Journal, 255, 185-194, 2014.
- [2] Quintana-Solórzano, R., Barragán-Rodríguez, G., Armendáriz-Herrera, H., López-Nieto, J.M., Valente, J.S., Fuel, 138, 15-26, 2014.
- [3] Qiao, A., Kalevaru, V.N., Radnik, J., Srihari Kumar, A., Lingaiah, N., Sai Prasad, P.S., Martin, A., Catalysis Communications, 30, 45-50, 2013.
- [4] Fu, B., Lu, J., Stair, P.C., Xiao, G., Kung, M.C., Kung, H.H., Journal of Catalysis, 297, 289-295, 2013.
- [5] Cavani, F., Ballarini, N., Cericola, A., Catalysis Today, 127, 113-131, 2007.
- [6] Skoufa, Z., Heracleous, E., Lemonidou, A.A., Journal of Catalysis, 322, 118-129, 2015.
- [7] Corberán, V.C., Catalysis Today, 99, 33-41, 2005.
- [8] Wang, S., Murata, K., Hayakawa, T., Hamakawa, S., Suzuki, K., Applied Catalysis A: General, 196, 1-8, 2000.
- [9] Wang, D., Xu, M., Shi, C., Lunsford, J., Catalysis Letters, 18, 323-328, 1993.
- [10] Abbasi, Z., Haghghi, M., Fatehifar, E., Saedy, S., International Journal of Chemical Reactor Engineering, 9, 1-19, 2011.
- [11] Parvas, M., Haghghi, M., Allahyari, S., Environmental Technology, 35, 1140-1149, 2014.
- [12] Ghodrati, M.S., Haghghi, M., Soltan Mohammadzadeh, J.S., Pourabas, B., Pipelzadeh, E., Reaction Kinetics, Mechanisms and Catalysis, 104, 49-60, 2011.
- [13] Rahmani, F., Haghghi, M., Journal of Natural Gas Science and Engineering, 27, Part 3, 1684-1701, 2015.
- [14] Rahmani, F., Haghghi, M., Amini, M., Journal of Industrial and Engineering Chemistry, 31, 142-155, 2015.
- [15] Michorczyk, P., Ogonowski, J., Kuśkowski, P., Chmielarz, L., Applied Catalysis A: General, 349, 62-69, 2008.
- [16] Asghari, E., Haghghi, M., Rahmani, F., Journal of Molecular Catalysis A: Chemical, 418-419, 115-124, 2016.
- [17] Kondratenko, E.V., Cherian, M., Baerns, M., Su, D., Schlägl, R., Wang, X., Wachs, I.E., Journal of Catalysis, 234, 131-142, 2005.
- [18] Wang, Y., Ohishi, Y., Shishido, T., Zhang, Q., Yang, W., Guo, Q., Wan, H., Takehira, K., Journal of Catalysis, 220, 347-357, 2003.
- [19] Takehira, K., Ohishi, Y., Shishido, T., Kawabata, T., Takaki, K., Zhang, Q., Wang, Y., Journal of Catalysis, 224, 404-416, 2004.
- [20] Liu, J., Yu, L., Zhao, Z., Chen, Y., Zhu, P., Wang, C., Luo, Y., Xu, C., Duan, A., Jiang, G., Journal of Catalysis, 285, 134-144, 2012.
- [21] Yanan Li, X.H., Shujie Wu, Ke Zhang, Guangdong Zhou, Jie Liu, Kaiji Zhen, Tong-

حقیقی و همکاران

- hao Wu, Tiexin Cheng, Journal of Natural Gas Chemistry, 14, 207-212, 2005.
- [22]Allahyari, S., Haghghi, M., Ebadi, A., Hosseinzadeh, S., Energy Conversion and Management, 83, 212-222, 2014.
- [23]Khoshbin, R., Haghghi, M., Chinese Journal of Inorganic Chemistry, 28, 1967-1978, 2012.
- [24]Charghand, M., Haghghi, M., Aghamohammadi, S., Ultrasonics Sonochemistry, 21, 1827-1838, 2014.
- [25]Yosefi, L., Haghghi, M., Allahyari, S., Shokrani, R., Ashkriz, S., Advanced Powder Technology, 26, 602-611, 2015.
- [26]Yahyavi, S.R., Haghghi, M., Shafei, S., Abdollahifar, M., Rahmani, F., Energy Conversion and Management, 97, 273-281, 2015.
- [27]Sharifi, M., Haghghi, M., Abdollahifar, M., Journal of Natural Gas Science and Engineering, 23, 547-558, 2015.
- [28]Sajjadi, S.M., Haghghi, M., Rahmani, F., Química Nova, 38, 459-465, 2015.
- [29]Sadeghpour, P., Haghghi, M., Iranian Journal of Chemistry & Chemical Engineering, 34, 11-27, 2015.



## Oxidative dehydrogenation of ethane to ethylene in the presence of CO<sub>2</sub> over Cr/MCM-41 nanocatalyst synthesized by One-pot hydrothermal method

E. Asghari<sup>1</sup>, M. Haghghi<sup>2,\*</sup> and F. Rahmani<sup>3</sup>

1. MSc in Chemical Engineering, Reactor and Catalysis Research Center (RCRC), Sahand University of Technology, Sahand New Town, Tabriz, Iran
2. Associate Prof. of Chemical Engineering, Reactor and Catalysis Research Center (RCRC), Sahand University of Technology, Sahand New Town, Tabriz, Iran
3. PhD student of Chemical Engineering, Reactor and Catalysis Research Center (RCRC), Sahand University of Technology, Sahand New Town, Tabriz, Iran

Received: January 2016, First Revised: March 2016, Second Revised: May 2016, Accepted: June 2016

**Abstract:** In this paper, the effect of direct hydrothermal method on the synthesis of Cr(8%)/MCM-41 nanocatalyst was investigated in order to use it in ethane dehydrogenation to ethylene with CO<sub>2</sub>, and the results were compared with impregnation method. The physicochemical properties of the nanocatalysts were characterized by XRD, BET, FESEM, FT-IR, and EDX analysis. XRD analysis confirmed formation of MCM-41 and Cr<sub>2</sub>O<sub>3</sub> crystalline phases. FESEM results demonstrated uniform morphology, small nanoparticles, and narrow distribution of particle size. EDX analysis illustrated homogenous dispersion of Cr species as a result of employing one-pot hydrothermal method. FT-IR results confirmed MCM-41 formation. Based on the characterization results, one-pot hydrothermal method endowed the sample with more uniform, tunable, and smaller nano particle size, leading to modified adsorption properties; and more homogenous dispersion compared to impregnation method. The catalytic experiments were conducted under atmospheric pressure and in the temperature range of 550-700 °C with reactant stream consisting of 10% ethane, 50% carbon dioxide and 40% nitrogen. It was found that the direct synthesized nanocatalyst exhibits a reasonable and stable catalytic activity even after 10 hours on-stream operation, giving 42.3 and 97% ethylene yield and selectivity at 700 °C, respectively. It exhibits better ethylene selectivity and comparable yield with that of impregnation method.

**Keywords:** Cr/MCM-41 Nanocatalyst, Dehydrogenation, Ethane, Ethylene, Carbon Dioxide

\*Corresponding author Email: haghghi@sut.ac.ir

Journal of Applied Research in Chemistry